网络出版时间: 2021 - 6 - 15 11:05 网络出版地址: https://kns.cnki.net/kcms/detail/34.1065.r. 20210611.0929.025. html

皮质下缺血性血管病与对氧磷酶1基因多态性的相关性研究

高文平 宋莉莉 汪 瑶 倪明珠 汪兆平 汪文静

摘要 目的 探讨皮质下缺血性血管病(SIVD)与对氧磷酶 1(PON1)基因多态性的相关性。方法 纳入 65 例 SIVD 患 者和同期 35 例体检者分别为 SIVD 组和对照组 ,依据头颅 MRI 表现评定 Fazekas 分级及腔梗(LI) 数量 将 SIVD 组分 为 WML 组和 LI 组 ,并根据脑损伤程度分别分为轻度病变 组、中度病变组和重度病变组,采用 Sanger 测序法测定受试 者 PON1 基因分别在第 192 和 55 位点的表达。结果 ① SIVD 组的平均年龄高于对照组(P<0.05),高密度脂蛋白 胆固醇(HDL-C) 水平低于对照组(P<0.05) SIVD 组和对 照组的吸烟状况差异有统计学意义(P<0.05);② SIVD 组 与对照组 Q192R、L55M 基因型分布均符合 Hardy-Weinberg 平衡定律; ③ SIVD 组与对照组 PON1 基因 Q192R 和 L55M 基因型分布差异均有统计学意义($\chi^2 = 8.780 P < 0.05$; $\chi^2 =$ 4.239 P < 0.05) SIVD 组 R 等位基因频率和 M 等位基因频 率均高于对照组($\chi^2 = 8.765$,P < 0.01; $\chi^2 = 4.926$,P <0.05); ④ 在 WML 组和 LI 组中 , 重度病变组 R 等位基因频 率均高于中度病变组和轻度病变组(P<0.0167),中度病变 组和重度病变组的 M 等位基因频率均高于轻度病变组(P< 0.016 7); ⑤ 多因素 Logistic 回归分析显示: 年龄、吸烟以及 携带 PON1 基因 R、M 等位基因 均为 SIVD 发病风险的独立 危险因素(P < 0.05)。结论 SIVD 的发病可能与 PON1 基 因在第192和55位点上表达的差异有关,携带该位点R、M 等位基因可能对 SIVD 的发病有一定的促进作用,为寻找 SIVD 防治新的靶点提供一定的理论依据。

关键词 皮质下缺血性血管病; 对氧磷酶 1 基因; 基因多态性

中图分类号 R 743.9; R 394.5

文献标志码 A 文章编号 1000 - 1492(2021) 07 - 1137 - 06 doi: 10.19405/j. cnki. issn1000 - 1492.2021.07.025

皮质下缺血性血管病(subcortical ischemic vascular disease, SIVD) 是一种以弥漫性脑白质病变

2021 - 03 - 11 接收

基金项目: 安徽省卫生厅医学科研课题(编号: 13zc032)

作者单位: ¹ 安徽医科大学附属省立医院神经内科 / 合肥 230001

- 2 安徽省第二人民医院神经内科 / 合肥 230041
- 3 安徽医科大学附属巢湖医院神经内科 巢湖 238000
- 4 蚌埠市第一人民医院神经内科 蚌埠 233000

作者简介: 高文平 ,女 ,住院医师 ,硕士研究生;

王文静,女,教授,主任医师,硕士生导师,责任作者,E-mail: 393943907@ qq. com

(white matter lesions, WML) 和多发腔隙性梗死(lacunar infarction, LI) 为特征的脑小血管病[1],是血 管性痴呆(vascular dementia, VaD)的主要亚型之 一[2] 虽然其发病率较高,但均质性较好[3] 成为近 年来学者们研究的热点。SIVD 的确切发病机制尚 不清楚 近年来的研究[3-4]表明其与遗传因素、动脉 粥样硬化、Αβ蛋白沉积、血脑屏障损害等有关。对 氧磷酶 1(paroxyphospase 1, PON1) 是一种芳香酯 酶 具有抗氧化及抗动脉粥样硬化的作用 其活性及 表达主要受 PON1 基因 Q192R 和 L55M 位点基因多 态性的影响^[5]。有研究^[5]表明,PON1 活性降低可 能与缺血性脑卒中、冠心病等动脉粥样硬化相关的 疾病发生有关。因此,PON1基因多态性可能也与 SIVD 的发病相关,目前两者间的关系尚无定论。该 研究拟通过临床资料的收集对比、影像上的差异以 及基因检测的方法探索 PON1 基因多态性与 SIVD 疾病的相关性,为寻找防治 SIVD 的新靶点提供一 定的理论依据。

1 材料与方法

1.1 病例资料 随机选取 2019 年 11 月—2020 年 6 月在安徽医科大学附属省立医院神经内科就诊的 SIVD 患者 65 例。SIVD 组纳入标准参照 Erkinjuntti^[6]提出的诊断标准并加以修订: ① 年龄 50~85 (66.28 ± 8.80) 岁; ② 头颅磁共振(MRI) 检查 T2、 Flair 成像提示皮质下多发 LI(LI ≥ 5 个) 和(或) 脑 室旁及深部广泛 WML(Fazekas 分级 ≤ 2 级) [7]; ③ 近6个月内无急性 LI 发生。SIVD 组排除标准[3 8]: ① 有皮质梗死、脑肿瘤、脑外伤、颅脑手术、脑出血 史;② 非血管性因素引起的脑白质病变:如代谢、多 发性硬化、免疫、中毒等; ③ 有风湿性疾病、感染性 疾病、血液系统疾病、严重肝肾功能不全等; ④ 近1 月有手术史。对照组纳入标准: 选取同时期年龄 50~85(61.26±7.99)岁、一般临床资料相仿、头颅 MRI 正常的体检者 35 例作为对照组。所有研究对 象及家属均知情同意并签署知情同意书。

1.2 方法

1.2.1 临床资料的收集 一般资料包括年龄、性

别、高血压、糖尿病、冠心病、心房颤动、肝肾疾病、吸烟饮酒史等。实验室检测包括血糖、血脂、同型半胱氨酸(homocysteine, Hey)、肝肾功能等指标。

- 1.2.2 影像学检查 采用 3.0 T MRI 机(德国西门 子公司) 扫描 根据头颅 MRI T1、T2 和 Flair 像,评估 所有受试者的脑损伤程度。LI 的数量: 计皮质下直 径 3~15 mm、边界清晰的缺血灶数量^[9]。参照 Fazekas 分级方法^[7 9]将 WML 进行分级: 0 级(无白 质病变) 1级(轻度 病变为斑点状) 2级(中度 病 变开始融合) 3级(重度 病变融合为弥漫性病变)。 SIVD 组 WML 和 LI 常合并存在,无法绝对区分,可 依据 Fazekas 分级及 LI 数量将所有 SIVD 组受试者 分为 WML 组和 LI 组 并分别按照脑损伤程度不同 等级进行以下分组: ① WML 组(以 WML 为主且 LI 数量≤5 个): 轻度 WML 组(Fazekas 分级为 1 级)、 中度 WML 组(Fazekas 分级为 2 级)、重度 WML 组 (Fazekas 分级为 3 级); ② LI 组(以 LI 为主,可伴有 脑白质损害): 轻度 LI 组(LI 数量≤5 个)、中度 LI 组(5个<LI数量<10个)、重度LI组(LI数量>10 个)。
- 1.2.3 标本的采集和 PON1 基因型的检测 使用 EDTA 抗凝管采集受试者清晨空腹肘静脉血 2 ml, 于 - 80 ℃冰箱冻存。采用 sanger 测序法检测所有 受试者的 PON1 基因 Q192R 及 L55M 两个位点的基 因型。① 按照 Ezup 柱式血液基因组 DNA 抽提试 剂盒(上海生工生物公司)说明书提取白细胞 DNA; ② 引物设计: 使用 Primer Premier 5 软件设计引物, Q192R 基因上游引物序列为 5~ATTTCAGAGAGT-TCACATACTTGCC-3′,下游引物序列为 5′-GAAT-AGACAGTGAGGAATGCCAG-3′,扩增片段 308 bp; L55M 基因上游引物序列为 5~TTATTTGAAAGT-GGGCATGGG-3′,下游引物序列为 5′-TCAAGTGAG-GTGTGATAAAGAAATG-3′,扩增片段 244 bp; ③ PCR 反应: PCR 反应体系总体积为 25 μl 模板 DNA 2 μl ,上下游引物各 1 μl ,dNTP(Mix) 1 μl ,10 × Taq buffer(含 MgCl₂) 2.5 µl ,Taq 酶 0.2 µl ,加双蒸水至 25 µl; PCR 反应条件: 95 ℃预变性 5 min 94 ℃变性 30 s 58 ℃退火 30 s 72 ℃延伸 1 min 循环 38 次 72 ℃ 修复延伸 10 min; ④ DNA 测序及 SNP 分型: 取 5 μl PCR 扩增产物经 1% 琼脂糖凝胶电泳鉴定后 ,采 用 sanger 测序法进行测序及 SNP 分型 ,由美国 ABI 3037 XL 全自动测序仪得出 DNA 测序峰图。
- 1.2.4 吸烟和饮酒的定义 ① 吸烟定义: 平均吸烟≥1 支/d 持续时间 > 12 个月 吸烟状况分为不吸

- 烟、目前吸烟和已戒烟,已戒烟是指曾经吸烟但已停止吸烟至少 $12 \land p^{[10]}$;②饮酒定义:过去 $1 \land p$ 饮酒次数 $\ge 1 \%$ 况,你酒状况分为不饮酒、目前饮酒和已戒酒,已戒酒是指曾经饮酒但已停止饮酒至少 $6 \land p^{[10]}$ 。
- 1.3 统计学处理 使用 SPSS 26.0 软件进行统计分析。当满足正态分布且方差齐的计量资料用 $\bar{x} \pm s$ 表示,采用独立样本 t 检验。不满足正态分布或方差不齐的计量资料用 M(IQR) 表示,采用非参数检验。计数资料采用 χ^2 检验或 Fisher 确切概率检验。采用 χ^2 检验判断 2 组基因型分布是否符合 Hardy—Weinberg 平衡定律。采用多因素二元 Logistic 回归分析 SIVD 的主要危险因素。采用条件 Logistic 回归分析 Q192R 及 L55M 位点间的交互作用,交互模型采用相乘模型。P < 0.05 为差异有统计学意义。3 组间计数资料两两比较时检验水准为 $\alpha' = 0.05/3 = 0.016$ 7 P < 0.016 7 为差异有统计学意义。

2 结果

- 2.1 SIVD 组和对照组一般资料和脑损伤程度的比较 SIVD 组和对照组性别、高血压、糖尿病、饮酒状况、血清三酰甘油(TG)、总胆固醇(TC)、低密度脂蛋白胆固醇(LDL-C)、极低密度脂蛋白胆固醇(VLDL-C)、同型半胱氨酸(Hey)水平差异均无统计学意义。与对照组比较 SIVD 组的平均年龄增高(P<0.05) SIVD 组的高密度脂蛋白胆固醇(HDL-C)水平降低(P<0.05) 2 组吸烟状况有统计学差异(P<0.05)。SIVD 组的 Fazekas 分级及 LI 数量高于对照组(P<0.001)。见表 1。
- 2.2 SIVD 组和对照组 PON1 基因 Q192R、L55M 位点测序结果、基因型分布和等位基因频率比较 SIVD 组和对照组 PON1 基因 Q192R、L55M 位点的 测序图分别如图 1.2 所示。SIVD 组和对照组 PON1 基因 Q192R、L55M 基因型分布均符合 Hardy-Weinberg 平衡定律。SIVD 组与对照组 PON1 基因 Q192R 和 L55M 基因型分布差异均有统计学意义 (P < 0.05)。SIVD 组 R 等位基因频率和 M 等位基因频率高于对照组(P < 0.05)。见表 2。
- **2.3 WML** 组和 **LI** 组 **PON1** 基因 **Q192R**、**L55M** 基因型分布和等位基因频率比较 **WML** 组和 **LI** 组 PON1 基因 Q192R 和 L55M 基因型分布和等位基因 频率差异均无统计学意义。见表 3。
- 2.4 WML 组和 LI 组内不同等级脑损伤程度的 PON1 基因Q192R、L55M基因型分布和等位基因

表 1 SIVD 组与对照组一般临床资料和脑损伤程度 比较 $[M(IQR), n(\%)]_{x \pm s}$]

项目	对照组(n=35)	SIVD 组(n=65)	统计量值	P 值
男性/女性(n)	16/19	40/25	2.312ª	0.128
年龄(岁)	62(13.0)	67(13.5)	-2.763^{b}	0.006
高血压	17(48.6)	37(56.9)	0.639ª	0.424
糖尿病	8(22.9)	16(24.6)	0.039 ^a	0.844
吸烟			6.420°	0.040
不吸烟	30(85.7)	42(64.6)		
已戒烟	3(8.6)	6(9.2)		
目前吸烟	2(5.7)	17(26.2)		
饮酒			3.769^{d}	0.155
不饮酒	31(88.6)	48(73.8)		
已戒酒	2(5.7)	4(6.2)		
目前饮酒	2(5.7)	13(20.0)		
TG(mmol/L)	1.35(0.74)	1.29(0.97)	–0.101 ^b	0.919
TC(mmol/L)	4.55(1.68)	4.09(1.40)	–1.789 ^b	0.074
HDL-C(mmol/L)	1.24(0.34)	1.04(0.29)	$-2.009^{\rm b}$	0.045
LDL-C(mmol/L)	2.46 ± 0.74	2.26 ± 0.89	1.173°	0.244
VLDL-C(mmol/L)	0.93(0.42)	0.80(0.19)	-1.934 ^b	0.053
Hey(mol/L)	10.01(3.10)	10.80(3.80)	$-1.612^{\rm b}$	0.107
Fazekas 分级(级)	0.00(1.00)	2.00(1.00)	-6.297^{b}	< 0.001
LI 数量(个)	0.00(0.00)	5.00(5.50)	-6.407 ^b	< 0.001

 a 采用 χ^{2} 检验; b 采用 Z 检验; c 采用独立样本 t 检验; d 采用 Fisher 确切概率检验

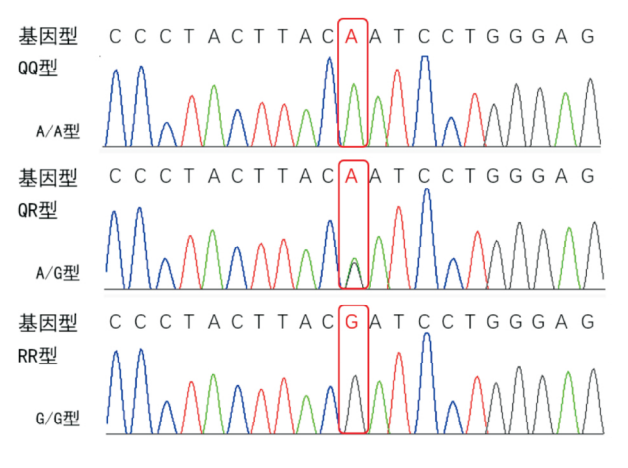


图 1 PON1 基因 Q192R 位点测序图

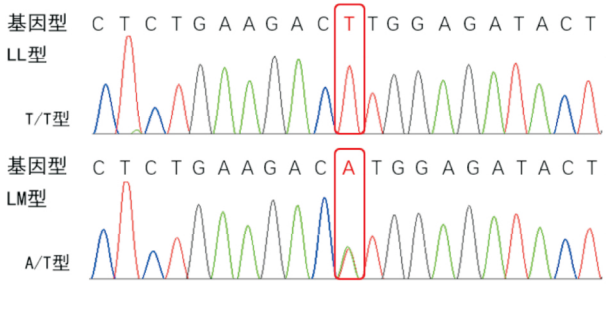


图 2 PON1 基因 L55M 位点测序图

表 2 SIVD 组与对照组 PON1 基因 Q192R、L55M 位点 基因型分布和等位基因频率比较 [% p(%)]

项目	对照组	SIVD 组	2 /±	p./±
	(n = 35)	(n = 65)	χ^2 值	P 值
Q192R 位点				
QQ	8(22.9)	5(7.7)		
QR	20(57.1)	30(46.2)	8.780	0.012a
RR	7(20.0)	30(46.2)		
Q	51.4	30.8	8.765	0.003a
R	48.6	69.2	0.705	0.003
L55M 位点				
LL	33(94.3)	51(78.5)	4.239	0.040ª
LM	2(5.7)	14(21.5)	1.237	0.040
MM	0(0.0)	0(0.0)		
L	97.14	89.23	4.926	0.026a
M	2.86	10.77		

^a 采用 χ² 检验

表 3 WML 组与 LI 组 PON1 基因 Q192R、L55M 位点 基因型分布和等位基因频率比较 [% p(%)]

项目	WML 组	LI 组	χ^2 值	P 值
坝 日	(n = 33)	(n = 32)	χ 111	厂阻
Q192R 位点				
QQ	3(9.1)	2(6.3)		
QR	16(48.5)	14(43.8)	0.534	0.808^{b}
RR	14(42.4)	16(50.0)		
Q	33.3	28.1	0.635	0.425a
R	66.7	71.9	0.000	0.423
L55M 位点				
LL	27(81.8)	24(75.0)		
LM	6(18.2)	8(25.0)	0.447	0.504ª
MM	0(0.0)	0(0.0)		
L	90.9	87.5	0.600	0.439ª
M	9.1	12.5	0.000	0.439

 $^{^{\}mathrm{a}}$ 采用 χ^2 检验 , $^{\mathrm{b}}$ 采用 Fisher 确切概率检验

频率比较 ① WML 组分为轻度 WML 组、中度 WML 组和重度 WML 组 3 组间 PON1 基因 Q192R、L55M 位点基因型分布差异均无统计学意义,Q192R、L55M 位点等位基因频率差异均有统计学意义(P<0.05)。重度 WML 组 R 等位基因频率分别高于中度 WML 组和轻度 WML 组(P<0.0167),中度 WML 组和重度 WML 组的 M 等位基因频率均高于轻度 WML 组(P<0.0167)。② LI 组分为轻度 LI 组、中度 LI 组和重度 LI 组 3 组间 PON1 基因 Q192R、L55M 位点基因型分布差异均无统计学意义、Q192R、L55M 位点等位基因频率差异均有统计学意义(P<0.05)。重度 LI 组 R 等位基因频率分别高于中度 LI 组和轻度 LI 组 (P<0.0167),中度 LI 组和重度 LI 组的 M 等位基因频率均高于轻度 LI 组和重度 LI 组的 M 等位基因频率均高于轻度 LI 组和重度 LI 组的 M 等位基因频率均高于轻度 LI 组(P<0.0167),中度 LI 组和重度 LI 组的 M 等位基因频率均高于轻度 LI 组(P<0.0167)。其余组间两两比较差异均无统

计学意义。见表 4、5。

表 4 WML 组内 PON1 基因 Q192R、L55M 位点基因型分布 和等位基因频率比较 [% p(%)]

项目	轻度 WML 组	中度 WML 组	重度 WML 组	χ^2 值	P 值
	(n = 2)	(n = 28)	(n = 3)	χΊΞ	<i>I</i> 旧
Q192R 位点					
QQ	0(0.0)	3(10.7)	0(0.0)		
QR	2(100.0)	14(50.0)	0(0.0)	$5.342^{\rm b}$	0.179
RR	0(0.0)	11(39.3)	3(100.0)		
Q	50.0	35.7	$0.0^{#*}$	64. 997ª	< 0.001
R	50.0	64.3	100.0**	*****	
L55M 位点					
LL	2(100.0)	23(82.1)	2(66.7)		
LM	0(0.0)	5(17.9)	1(33.3)	$1.155^{\rm b}$	0.660
MM	0(0.0)	0(0.0)	0(0.0)		
L	100.0*	91.1#	83.3#	17. 892ª	< 0.001
M	0.0^*	8.9#	16.7#	17.1072	

" 采用 χ^2 检验; ^b 采用 Fisher 确切概率检验; 与轻度 WML 组比较: [#]P < 0.016 7; 与中度 WML 组比较: ^{*}P < 0.016 7

表 5 LI 组内 PON1 基因 Q192R、L55M 位点 基因型分布和等位基因频率比较 [% p(%)]

	± μ ± // // //	10 EE HX	1 2012 [7-	(/-/]	
项目	轻度 ∐ 组	中度 LI 组	重度 LI 组	2 /=	P 值
坝日	(n = 5)	(n = 23)	(n = 4)	χ^2 值	厂阻
Q192R 位点					
QQ	1(20.0)	1(4.3)	0(0.0)		
QR	2(40.0)	11(47.8)	1(25.0)	3.127^{b}	0.621
RR	2(40.0)	11(47.8)	3(75.0)		
Q	40.0	28.3	12.5**	19. 357ª	< 0.001
R	60.0	71.7	87.5**	19.331	(0.001
L55M 位点					
LL	5(100.0)	16(69.6)	3(75.0)		
LM	0(0.0)	7(30.4)	1(25.0)	$1.752^{\rm b}$	0.372
MM	0(0.0)	0(0.0)	0(0.0)		
L	100.0*	84.8#	87.5#	15. 694ª	< 0.001
M	0.0^*	15.2#	12.5#	13.094	V0.001

" 采用 χ^2 检验; ^b 采用 Fisher 确切概率检验; 与轻度 LI 组比较: *P < 0.016 7; 与中度 LI 组比较: *P < 0.016 7

2.5 SIVD 危险因素的多因素 Logistic 回归分析 将有无 SIVD 作为因变量 将年龄、吸烟、HDL 水平、 携带 R 等位基因、携带 M 等位基因作为自变量 ,进 行 Logistic 回归分析。在回归方程中,将有 SIVD 赋值为 1,无 SIVD 赋值为 0;吸烟: 不吸烟赋值为 0,已 戒烟赋值为 1,目前吸烟赋值为 2;携带 R 等位基因: QQ 基因型赋值为 0,QR 基因型赋值为 1,RR 基因型赋值为 2;携带 M 等位基因: LL 基因型赋值为 0,LM 基因型赋值为 1。年龄及 HDL-C 水平均以连续型变量直接纳入模型。结果显示: 在控制各项因素后,年龄、吸烟、携带 R 等位基因、携带 M 等位基因均为 SIVD 患病的独立危险因素。见表 6。

2.6 PON1 基因 Q192R 和 L55M 位点多态性的交互作用分析 通过条件 Logistic 回归,在调整年龄、吸烟及 HDL-C 水平等因素后,Q192R 位点和 L55M 位点多态性对 SIVD 患病无统计学交互作用(P = 0.908,QR = 1.438,95% $CI = 0.003 \sim 692.434$)。

3 讨论

以 WML 和 LI 为特征的 SIVD 是老年人中较常见的脑小血管病[11],其起病较隐匿,早期认知功能可能正常,随着病情进展逐渐出现认知能力下降[1]。其临床表现除认知障碍外,还包括步态异常、假性球麻痹、尿便障碍和锥体外系症状^[8]。因此,早期发现对于及时治疗和改善预后至关重要。

对氧磷酶(paraoxonase , PON) 基因家族都与抗动脉粥样硬化相关 ,其中 PON1 的抗动脉粥样硬化活性最强^[5] ,被学者们广泛研究。PON1 是一种Ca²⁺依赖的酯酶 在血液中与高密度脂蛋白(HDL) 紧密结合^[12] ,可防止低密度脂蛋白(LDL) 氧化 ,促进 HDL 的抗动脉粥样硬化 在调节胆固醇反向转运(reverse cholesterol transport , RCT) 、抗氧化、抗凋亡、抗炎、血管舒张和抗血栓形成以及几种内皮细胞功能中也发挥作用 ,与冠心病、缺血性脑卒中等疾病密切关联^[13]。PON1 基因位于人类第7号染色体长臂(7q21. 3~q22. 1) 上^[5]。有研究^[12-13]表明 ,人血清中的 PON1 活性有 40 倍的差异 ,这可能是由PON1 基因编码区的多态性共同决定的 ,其中Q192R 和 L55M 位点的多态性表现发挥主要作用。

表 6 SIVD 影响因素多因素 Logistic 回归分析

变量	В	SE	Wald	P 值	OR	95% CI
年龄(岁)	0.082	0.030	7.385	0.007	1.085	1.023 ~ 1.152
吸烟	0.903	0.391	5.336	0.021	2.468	1.147 ~ 5.311
HDL-C(mmol/L)	-1.107	1.023	1.171	0.279	0.330	0.044 ~ 2.455
携带 R 等位基因	1.140	0.386	8.738	0.003	3.127	1.468 ~ 6.658
携带 M 等位基因	1.772	0.866	4.190	0.041	5.885	1.078 ~32.120

目前,PON1 的基因多态性与 SIVD 的关系尚无定论。该研究结果显示,SIVD 组 PON1 基因 192 位的 R 等位基因频率和 55 位的 M 等位基因频率均高于对照组 根据脑损伤程度不同等级进一步分组发现,WML 组内和 LI 组内病变程度较高的组别其 R 和 M 等位基因频率更高,提示其 R 和 M 等位基因可能在 SIVD 的发病和脑损伤的过程中均有一定的促进作用。条件 Logistic 回归和多因素 Logistic 回归分析结果提示,携带其 R 和 M 等位基因均为 SIVD 患病的独立危险因素,且携带 M 等位基因对 SIVD 发病的影响可能更大。

因此 SIVD 的发病可能与 PON1 基因 Q192R 和 L55M 位点的多态性表现相关。具体而言,其R 和 M 等位基因影响 SIVD 的发生发展的机制可能如 下: ① PON1 基因 O192R 和 L55M 基因多态性可影 响 PON1 的活性 携带 R 等位基因虽比携带 Q 等位 基因的 PON1 活性更高,但携带 R 等位基因会抑制 PON1 对 LDL 免受氧化的保护, 而携带 M 等位基因 相比携带 L 等位基因的 PON1 活性较低[12-13] ,因 此 携带 R 等位基因与携带 M 等位基因均可使 PON1 的抗动脉粥样硬化功能受限。② PON1 水解 脂质过氧化物,保护 LDL 免受氧化,降低循环和血 管壁中氧化的 LDL 减少泡沫细胞的形成和巨噬细 胞的氧化应激以及刺激 HDL 介导的 RCT 促进内皮 功能正常化,从而抗动脉粥样硬化[5,12]。③ PON1 与 HDL 之间的联系不仅是简单的配体 - 载体关系, PON1 也可以保护 HDL 免受氧化。血脂异常、氧化 应激和炎症均可引起 HDL 的结构剧烈变化 从而减 弱 HDL 抗动脉粥样硬化潜力。HDL 结构的改变可 影响 PON1 的活性 氧化的 HDL 增强 PON1 活性的 能力也明显降低[13]。④ PON1 也是一种乳酸酶 ,能 降解同型半胱氨酸硫代内酯(HycTL)。HycTL 是一 种 Hev 代谢物,可通过 N 型半胱氨酸化机制修饰蛋 白的赖氨酸残基 进而影响蛋白的结构和功能 导致 氧化应激、内皮功能障碍、血栓形成、自身免疫反应、 细胞死亡和动脉粥样硬化。PON1 通过代谢 HycTL, 限制蛋白的 N 同型半胱氨酸化 从而延缓动脉粥样 硬化的发展[12,14]。

该研究对 SIVD 的影响因素进行了多因素 Logistic 回归分析 ,结果显示 ,吸烟与年龄增长也会增加 SIVD 的发病风险 ,这可能也与 PON1 的活性和表达降低有关。PON1 的活性和表达也受年龄、炎症、饮食、药物、糖尿病、吸烟和生活方式的影响^[5,15]。有研究^[15]表明 ,吸烟者血清中 PON1 的活性和浓度

低于非吸烟者 不过这种影响在戒烟后可消除 故而 戒烟对于预防 SIVD 具有重要意义。同时 ,PON1 活性也随着年龄的增长而降低 ,这也与老年群体中 HDL 对氧化的敏感性增加有关 [12 15]。另外 ,该研究中未检测到 PON1 基因 55 位 MM 基因型 ,可能与 MM 是一种较为罕见的基因型有关 ,这与国内外的研究结果一致 [16-17]。

综上所述 尽管该研究的样本量有限 未能对年龄、吸烟等因素进一步分层分析 ,但该研究的结果表明 ,SIVD 的发病可能与 PON1 基因多态性有关 ,携带第 192 位 R 等位基因与第 55 位 M 等位基因可能对 SIVD 的发病有一定的促进作用 ,这些发现为寻找 SIVD 防治新的靶点具有重要意义。

参考文献

- [1] Vilar-Bergua A, Riba-Llena I, Nafría C, et al. Blood and CSF biomarkers in brain subcortical ischemic vascular disease: involved pathways and clinical applicability [J]. J Cereb Blood Flow Metab, 2016, 36(1): 55-71.
- [2] Fu Z, Caprihan A, Chen J, et al. Altered static and dynamic functional network connectivity in Alzheimer's disease and subcortical ischemic vascular disease: shared and specific brain connectivity abnormalities [J]. Hum Brain Mapp, 2019, 40(11): 3203 –21.
- [3] 王瑶 倪明珠 刘文灿 等. 皮质下缺血性血管病患者 ApoE 基因多态性及血清亲环素 A 浓度对认知障碍的影响[J]. 安徽医科大学学报 2019 54(4):630-4.
- [4] Shindo A, Liang A C, Maki T, et al. Subcortical ischemic vascular disease: roles of oligodendrocyte function in experimental models of subcortical white-matter injury [J]. J Cereb Blood Flow Metab, 2016, 36(1): 187-98.
- [5] Tajbakhsh A , Rezaee M , Rivandi M , et al. Paraoxonase 1 (PON1) and stroke; the dilemma of genetic variation [J]. Clin Biochem , 2017 , 50(18): 1298 – 305.
- [6] Erkinjuntti T. Subcortical ischemic vascular disease and dementia
 [J]. Int Psychogeriatr , 2003 , 15: 23 6.
- [7] Fazekas F , Schmidt R , Scheltens P. Pathophysiologic mechanisms in the development of age-related white matter changes of the brain [J]. Dement Geriatr Cogn Disord , 1998 , 9(1): 2-5.
- [8] 赵秀秀 沈春子 湖新欣 等. 皮质下缺血性血管病患者血小板 聚集功能的变化及其意义[J]. 中华医学杂志 ,2018 ,98(9):
- [9] Xu X , Gao Y , Liu R , et al. Progression of white matter hyperintensities contributes to lacunar infarction [J]. Aging Dis , 2018 , 9 (3): 444 52.
- [10] 王雪莹 李 楠 郭佳桐 等. 基于分类树模型对高尿酸血症的影响因素分析[J]. 中华疾病控制杂志 2019 23(11):1364-9.
- [11] 黄一宁. 中国脑小血管病诊治共识[J]. 中华神经科杂志, 2015, 48(10): 838-44.

- [12] Khalil A, Fulop T, Berrougui H. Role of Paraoxonase1 in the regulation of high-density lipoprotein functionality and in cardiovascular protection[J]. Antioxid Redox Signal, 2021, 34(3):191 200.
- [13] Kotur-Stevuljević J , Vekić J , Stefanović A , et al. Paraoxonase 1 and atherosclerosis related diseases [J]. Biofactors , 2020 , 46 (2): 193 205.
- [14] Perła-Kajún J , Borowczyk K , Głowacki R , et al. Paraoxonase 1 Q192R genotype and activity affect homocysteine thiolactone levels in humans [J]. FASEB J , 2018 , 32(11): 6019 – 24.
- [15] Deakin S P , James R W. Genetic and environmental factors modulating serum concentrations and activities of the antioxidant enzyme paraoxonase-I [J]. Clin Sci (Lond) , 2004 , 107(5): 435 47.
- [16] Dadachanji R , Shaikh N , Khavale S , et al. PON1 polymorphisms are associated with polycystic ovary syndrome susceptibility , related traits , and PON1 activity in Indian women with the syndrome [J]. Fertil Steril , 2015 , 104(1): 207 - 16.
- [17] 刘晓燕 王曼知 陈 芳 為 对氧磷酶 1 基因 Q192R 和 L55M 位 点多态性与川崎病冠状动脉损伤的相关性 [J]. 中华实用诊断 与治疗杂志 2020 34(5):470-3.

Study on the correlation between subcortical ischemic vascular disease and paraoxonase 1 gene polymorphisms

Gao Wenping¹ Song Lili² ,Wang Yao² ,et al

(¹Dept of Neurology ,The Affiliated Provincial Hospital of Anhui Medical University ,Hefei 230001

²Dept of Neurology , Anhui NO. 2 People's Hospital ,Hefei 230041)

To investigate the correlation between subcortical ischemic vascular disease (SIVD) and paraoxonase 1 (PON1) gene polymorphism. *Methods* Sixty-five SIVD patients and 35 medical examiners in the same period were included as SIVD group and control group , respectively. The Fazekas classification and the number of luminal infarcts (LI) were evaluated according to the MRI findings of the head, and the SIVD group was divided into the WML group and the LI group. According to the degree of brain damage, they were divided into mild disease group, moderate disease group and severe disease group. Sanger sequencing method was used to determine the expression of the subject's PON1 gene at locus 192 and 55 respectively. **Results** ① The average age was higher than that of the control group (P < 0.05), and the high-density lipoprotein cholesterol (HDL-C) level was lower than that of the control group (P < 0.05). There was a statistically significant difference in smoking status between the SIVD group and the control group (P < 0.05); ② The distribution of Q192R and L55M genotypes in the SIVD group and the control group conformed to the Hardy-Weinberg equilibrium law; (3) The difference of PON1 gene Q192R and L55M genotype distribution between the SIVD group and the control group was statistically significant ($\chi^2 = 8.780$, P < 0.05; $\chi^2 = 4.239$, P < 0.05). Both the R allele frequency and M allele frequency in the SIVD group were higher than those in the control group ($\chi^2 = 8.765$, P < 0.01; $\chi^2 = 4.926$, P < 0.05); 4 In the WML group and the LI group, the R allele frequency of the severe disease group was higher than that of the moderate disease group and the mild disease group (P < 0.0167), and the M allele frequency of the moderate disease group and the severe disease group were both higher than that of mild disease group (P < 0.0167); (5) Multivariate Logistic regression analysis showed that age , smoking , and carrying PON1 gene R and M alleles were all independent risk factors for the risk of SIVD (P < 0.05). Conclusion The pathogenesis of SIVD may be related to the difference in the expression of the PON1 gene at locus 192 and 55. Carrying R and M alleles at this locus may promote the pathogenesis of SIVD. These findings provide a certain theoretical basis for finding new targets for the prevention and treatment of SIVD.

Key words subcortical ischemic vascular disease; paraoxonase 1 gene; gene polymorphism